第3期 1997年9月

无机化学 JOURNAL OF INORGANIC CHEMISTRY Vol. 13, No. 3 Sept., 1997

0614,812 固相配位化学反应研究

LXX N. 固相化学反应中的晶态-非晶态-晶态的变化

赖 芝 忻新泉"

(南京大学配位化学研究所,配位化学国家重点实验室,南京 210093)

(南京大学物理系,南京 210093)

本文用近室温固相化学反应方法合成了一个新化合物 Co(acac)Q(bipy)(Hacac=乙酰丙酮,bipy =2,2'-联吡啶,8-HQ=8-羟基喹啉)。发现了化学反应中晶态-非晶态-晶态的变化过程,用扩散-反 应-成核及成长机理的三步过程阐明了周相化学反应机理。

关键词: 成核及成长

在物理学中,从晶态向无定形状态转变的过程已被广泛研究[1.2],并提出了多种理论。这些 工作集中在金属单质、合金及氧化物,大都属于物理学上的相变过程。该类无定形化合物在 XRD 图谱上常显示一很宽的鼓包,说明在小范围内仍存在短程有序排列,未达到化学上的完 全均一状态。当无定形状态中的小范围短程有序排列被破坏时,就达到非晶态。

本实验室对低热固相化学反应已作过广泛的研究[3-4]。本文研究了钴配合物和 8-羟基喹 啉的反应,报道了固相化学反应中存在的晶态-非晶态-晶态的变化过程,运用扩散-反应-成核 及成长机理对上述过程作了阐述,并指出了利用固相化学反应得到非晶态化合物的条件。

# 实验部分

#### 1.1 试剂和仪器

Co(acac)<sub>2</sub>(bipy)的合成按文献<sup>[5]</sup>,8-羟基喹啉为 A. R. 级试剂。

C、H、N 的含量由 PE-240 型自动元素分析仪测定, XRD 谱选用 Cu 靶在 Rigaku D/Max-RA 型 X 射线粉末衍射仪进行,采用 Be 窗滤色器和石墨单色器、IR 谱由 Nicolet IR FT-170SX 型红 外光谱仪测定,KBr 压片,DSC 谱采用 Perkin-Elmer 热分析仪测定,升温速度约 20℃/min。TG-DTA 采用 TA 2960 热分析仪测定,升温速度为 1°C/min。

收稿日期:1997-02-13。 收修改稿日期:1997-04-29。

国家自然科学基金资助项目。

<sup>\*</sup> 通讯联系人。

第一作者:赖 芝,女、25岁,硕士研究生,研究方向:固相配位化学反应研究。

## 1.2 固相合成 Co(acac)Q(bipy)

将 Co(acac)』(bipy)和 8-羟基喹啉以 1: L摩尔比混合均匀.研磨 25 mm 后,放入供籍中在 65 C下恒温 72 h,将产物分别作 XRD,DSC,IR 和元素分析。元素分析结果:Co(acac)Q(bipy)计算值:C.62.88;H,4.62;N,9.17;实测值:C.62.46;H,4.85;N,9.50。混合物的失重实验显示 反应的重量损失为 17.5%(计算值:17.7%),与 1 摩尔 8-羟基喹啉取代 L摩尔乙酰丙酮相对应。

Co(acac)<sub>2</sub>(bipy)和 8-HQ 的反应途径如下:

其中 Co(acac)。/bipy)和 Co(acac)Q(bipy)均为外消旋体、图中仅分别画出了一对映体。

# 1.3 Co(acac),(bipy)和 8-羟基喹啉反应的

#### TG-DTA 研究

分别将 Co(acac)<sub>2</sub>(bipy)和 8-HQ 球磨过100 目筛,然后以1:1 的摩尔比混合均匀,测定 TG-DTA。反应的 TG-DTA 曲线如图 1 所示。

# 1.4 Co(acac), (bipy)和 8-羟基喹啉反应机理 的 XRD 研究

分别将  $Co(acac)_2(bipy)$ 和 8-HQ 球磨过 100 目筛,然后以 1:1 的摩尔比混合,研磨 10 min 后测定 XRD 谱,再加热至  $65 \, C$ ,每隔 1 b 测定一次 XRD 谱。反应的 XRD 谱如图 2 所示、其中衍射峰的 2 $\theta$  值及相对强度列于表 1。

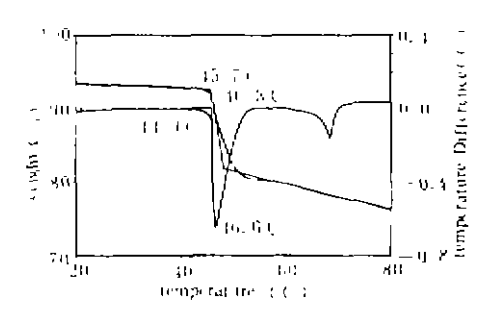


图 1 Cotatae A (bipy)和 8-HQ 反应的 TG-DTA 曲线

Fig. 1 TG-DTA curves of the reaction between Co(acac)<sub>2</sub>(bipy) and 8-HO

表 1 Co(acac), (bipy)和 8-HQ 反应的 XRD 图谱的 20 值及相对强度
Table 1 20 Value and Relative Intensity of Reaction between Co(acac), (bipy) and 8-HQ

| Collacach: (bipy) |       | 9-HQ      | mixed     | heated for 2 hours | healed for 12 hours | heated for 72 hours |
|-------------------|-------|-----------|-----------|--------------------|---------------------|---------------------|
|                   | nki   |           |           |                    | 7.54(3)             | 7. 54(3)            |
|                   |       | 9.30(2)   |           |                    |                     |                     |
| 11.14(1)          | 10-1  |           | 11.08(1)  |                    |                     |                     |
| 11.84(2)          | 210   |           | 11. 76/2) |                    |                     |                     |
|                   |       |           |           |                    | 11.96(1)            | 11.96(1)            |
|                   |       | 12. 22(5) |           |                    |                     |                     |
| 12.28(4)          | 200   |           | 12. 20(4) |                    |                     |                     |
|                   |       |           |           |                    | 12, 52(4)           | 12.52(4)            |
| 13.54(9)          | 21-1  |           | 13. 48(9) |                    |                     |                     |
|                   |       | 14.14(1)  |           |                    |                     |                     |
|                   |       |           |           |                    | 14.38(5)            | 14.38(5)            |
| 14.80(6)          | 20-1  |           | 14.72(6)  |                    |                     |                     |
|                   | 22- l |           |           |                    |                     |                     |

| Co(acac) <sub>2</sub> (blpy) |      | 8-HQ      | mixed     | heated for 2 hours | healed for 12 hours | heated for 72 hours |
|------------------------------|------|-----------|-----------|--------------------|---------------------|---------------------|
| <del></del>                  |      | 15.36(6)  |           |                    |                     |                     |
|                              |      |           |           |                    | 15, 96(7)           | 15.96(7)            |
|                              |      |           |           |                    | 19.42(8)            | 19.42(8)            |
| 20. 54(10)                   | 002  |           | 20.46(10) |                    |                     |                     |
|                              | 10.2 |           |           |                    |                     |                     |
|                              | 12-2 |           |           |                    |                     |                     |
| 21, 28(5)                    | 310  |           | 21, 18(5) |                    |                     |                     |
|                              | 22-2 |           |           |                    |                     |                     |
|                              |      |           |           |                    | 21.56(2)            | 21.56(2)            |
|                              |      |           |           |                    | 22.82(9)            | 22.82(9)            |
|                              |      | 23.04(9)  |           |                    |                     |                     |
|                              |      | 23. 26(3) |           |                    |                     |                     |
| 23. 32(7)                    | 240  |           | 23. 26(7) |                    |                     |                     |
|                              |      |           |           |                    | 23.46(6)            | 23.46(6)            |
| 23. 58(3)                    | 410  |           | 23.48(3)  |                    |                     |                     |
|                              | 231  |           |           |                    |                     |                     |
| 24. 80(8)                    | 400  |           | 24.72(8)  |                    |                     |                     |
|                              | 43-1 |           |           |                    |                     |                     |
|                              |      | 25.50(7)  |           |                    |                     |                     |
|                              |      |           |           |                    | 26.64(10)           | 26.64(10)           |
|                              |      | 27.96(4)  |           |                    |                     |                     |
|                              |      | 28.30(8)  |           |                    |                     |                     |
|                              |      | 28.52(10) |           |                    |                     |                     |

# 2 结果与讨论

## 2.1 固相产物的表征

#### 2.1.1 红外光谱(4000-400 cm<sup>-1</sup>)

将自由配体和产物的谱图比较可以发现以下特征:①产物中乙酰丙酮的谱带分别位于 1599 和 1511 cm<sup>-1[63]</sup>,和 Co(acac)。(bipy)中乙酰丙酮谱带的位置相同,显示乙酰丙酮以螯合方式与 Co 配位。② 8- HQ 中 C = N 振 动谱带分别位于 1507 cm<sup>-1</sup> 和 1409 cm<sup>-1</sup>,而在 Co(acac)Q(bipy)中,1507 cm<sup>-1</sup>谱带移至 1493 cm<sup>-1</sup>,1409 cm<sup>-1</sup>谱带移至 1423 cm<sup>-1</sup>。该类谱带位移在其它喹啉金属化合物也曾被发现<sup>[7]</sup>,表明产物中 8-羟基喹啉与 Co 配位,③8-HQ 中位于700 和 850 cm<sup>-1</sup>的平面外氢变形振动在配合物中发生分裂,④中心位于 3200 cm<sup>-1</sup>的宽而强的 H-O 振动谱带由于 8-羟基喹啉配位后不再有质子而消失。

# 2.1.2 XRD 谱

产物和原料的 XRD 谱如图 2 所示。在产物的 XRD 谱中,我们发现 8-羟基喹啉和 Co(acac)<sub>2</sub>(bipy)的衍射峰均消失,并有新峰产生,表明反应完全。产物元素分析结果显示分子式为 Co(acac)Q(bipy)。

# 2.1.3 DSC 谱

产物的 DSC 图谱显示仅在峰值为 560K 处出现一吸热峰,而对应于 8-羟基喹啉的分解点 (349K)和  $Co(acac)_2(bipy)$ 的熔点 (523K)均未出现吸热峰,新峰对应 Co(acac)Q(bipy)的熔融和分解。

### 2.2 反应机理

## 2.2.1 TG-DTA 谱

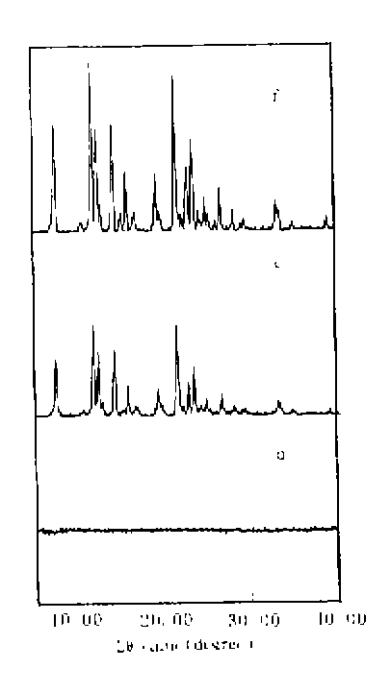
从图 1 可以得到以下三点:(1)在 46.6 C 前后出现一较大的吸热峰,起始位置在 44.9 C.峰值为 46.6 C,同时在失重曲线相应位置出现一失重台阶,起始位置在 45.7 C.结束位置为 48.2 C.此吸热峰代表反应中放出的乙酰丙酮的挥发,此时反应已基本完成。(2)TG-DTA 失重曲线上速率最大点为 46.3 C,在热量曲线上吸热峰最大值在 46.6 C.两者符合较好,(3)在峰值为 68.4 C处出现另一吸热峰,该峰的起始位置在 65.1 C.同时在失重曲线相应位置未观察到重量损失,该峰显示一相变过程。

## 2.2.2 XRD 谱

根据图 2 及表 1,我们发现 100 目过筛的 Co(acac)₂(bipy)和 8-HQ 在 XRD 谱中都显示强衍射峰,并且 8-HQ 的衍射峰强度大大超过 Co(acac)₂(bipy)的衍射峰强度。研磨 10 min 后. XRD 谱中 8-HQ 的衍射峰完全消失,而 Co(acac)₂(bipy)仍维持着较强的衍射峰强度,同时 Co(acac)₂(bipy)的衍射峰向高角度方向稍有移动,但相对强度仍维持不变。如果在相同条件下研磨纯的 8-HQ 晶体和 Co(acac)₂(bipy),衍射峰强度不发生明显变化,说明 8-HQ 在混合及研磨后以分子形态扩散进入 Co(acac)₂(bipy)晶格中。当把混合物置于 65 C 下加热,图 2 显示 Co(acac)₂(bipy)的衍射峰强度逐渐降低,2 小时后 XRD 图谱中 Co(acac)₂(bipy)的衍射峰完全消失,无新峰出现,此时测定反应的失重值为 17.5%,表明 Co(acac)₂(bipy)和 8-HQ 基本反应完全,生成 Co(acac)₂(bipy),产物以非晶态存在。当加热至 12 小时,图谱出现一组新峰,继续加热,新峰逐渐增强,72 小时后,峰强度基本不变,产物为 Co(acac)Q(bipy)。

固相化学反应一般经历三个阶段:(1)晶格间的扩散;(2)反应,(3)产物的成核与成长。第一阶段中,由于 8-HQ 和 Co(acac)₂(bipy)都是分子晶体,结构比较松散,固体间的扩散比较容易,其中 8-HQ 的分子量较小,熔点低,分子间束缚弱,因此 8-HQ 首先向 Co(acac)₂(bipy)晶格扩散,在 XRD 图中表现为 8-HQ 的衍射峰强度迅速减弱,并很快消失,同时使 Co(acac)₂(bipy)的晶格发生变化,衍射峰位置移动。从整个反应过程看,扩散速度较快,所需能量较小。该过程在混合及研磨后即已完成。

第二阶段,Co(acac)₂(bipy)和 8-羟基喹啉反应生成 Co(acac)Q(bipy),这时Co(acac)Q(bipy)以非晶态存在。由于 Co(acac)₂(bipy)和 Co(acac)Q(bipy)都是六配位八面体,反应前后分子构型未发生较大变化,同时 8-HQ 的酸性比乙酰丙酮强,平衡偏向产物,因此反应速度较快。随着反应的进行,Co(acac)₂(bipy)的衍射峰强度逐渐降低,当反应完全时,XRD 谱无任何衍射峰。原化合物晶格完全解体,新化合物晶格尚未形成,整个物相处于非晶态。



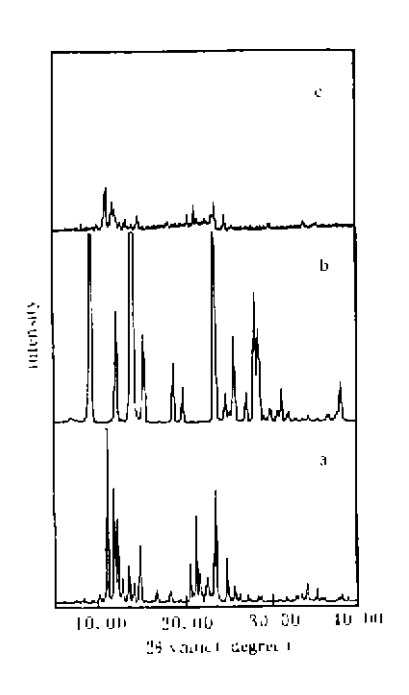


图 2 Co(acac)」(bipy)和 8-HQ 反应的 XRD 图谱 Fig. 2 XRD patterns of the reaction between Co(acac)』(bipy) and 8-HQ a.Co(acac)」(bipy) b.8-HQ c.mixed and ground for 10 min d.beated at 65°C tor 2 hours e.12 hours f.72 hours

在第三阶段,固相反应经历成核与成长阶段,当产物的晶体颗粒直径很小时,不能看作一独立的相、只能作为缺陷形式存在,只有当直径超过某一临界值时,才能成为一完整的相。成核反应需要两个条件 $[^{\epsilon}]$ ,(1)成核温度  $T_{\epsilon}$ ,当温度低于  $T_{\epsilon}$  时,成核反应不能发生。只有当温度高于  $T_{\epsilon}$  时,缺陷间发生大规模缔合,导致成核反应的发生。(2)成核活化能。成核反应需要能量,必须越过一定的势垒,才能生成新相,该势垒即成核活化能。在 TG-DTA 图谱中,68.4 C处的吸热峰代表固相成核反应。我们发现当反应温度低于 50 C时,产物由非晶态向晶态转变的过程极其缓慢,通常需要几个星期才能完成,当温度高于 60 C时,此转变过程大大加快。说明在此反应中,产物 Co(acac)Q(bipy)的成核与成长需要较高的温度和活化能。

综上所述,在 Co(acac)<sub>2</sub>(bipy)和 8-HQ 的反应中,扩散和反应都较快,而产物的成核及成长速度较慢。虽然反应物能很快反应完全生成非晶态的产物,由于非晶态继续向晶态转变需要一定的温度和成核活化能,转变较慢,因此在本体系中能观察到典型的晶态-非晶态-晶态变化,并能得到以非晶态存在的产物。当固相化学反应中产物的成核及成长速度较快时,反应常受扩散控制,这时晶态反应物和晶态产物两相将同时存在,所以只能观察到晶态-晶态的变化。至于由三阶段中其它步骤控制的固相化学反应将在以后报道。

致谢:本 课题工作得到国家自然科学基金的资助。特此表示感谢!

## 参考文献

- [1] Guo. W. J. Mat. Sci., 1990, 26, 6190.
- [2] Fecht, H. J. J. Appl. Phys., 1990, 67(4), 1744.
- [3] Xin X. Q.; Zheng L. M. J. Solid State Chem., 1993, 106, 451.
- [4]Yao, X.B.; Zheng, L.M.; Xin, X.Q. J. Solid State Chem. 1995, 117, 333
- [5] Hashagan, J. T.; Fackler, J. P. Jr. J. Am. Chem. Soc. ,1965,67, 2821.
- [6] Birdy, R. B; Goodgame, M. Inorg. Cham. Acta, 1976, 36, 281.
- [7] Tachett, J. E.; Sawyer, D. T. horg. Chem., 1964, 3(4), 692.
- [8] Munster, A. Statistical Thermodynamics, Springer Verlag, 1989.

# STUDIES ON THE SOLID STATE REACTIONS OF COORDINATION COMPOUNDS

## LXX N. CRYSTAL-AMORPHOUS-CRYSTAL SOLID STATE TRANSITION

Lai Zhi Xin Xinquan

(Coordination Chemistry Institute, Nanjung University, Nanjung 210093)

Zhou Hengnan

(Department of Physics, Nanjang University, Nanjang 210093)

A new coordination compound Co(acac)Q(bipy)(Hacac=acetylacetone, HQ=8-hydroxyquano-line, bipy=2.2'-bipyridine) has been synthesized through solid state reaction at slightly-elevated temperature. XRD and TG-DTA methods were used to investigate the reaction process of Co(acac)<sub>2</sub>(bipy) and 8-hydroxyquanoline, and crystal-amorphous-crystal solid state transition was discovered. A diffusion-reaction-nucleation and growth theory was put forward to satisfy the above process.

Keywords: crystal noncrystal diffusion nucleation and growth solid state reaction